

ص ۲۵-۳۷

شناسایی مولکولی و پاتولوژیک *Lactococcus garviae* و پاتولوژیک *Oncorhynchus mykiss*

جداسازی شده از قزلآلای رنگین کمان

(*Oncorhynchus mykiss*) پرورشی ایلام

- ❖ سعیده حیدری نژاد*: کارشناس ارشد بافت‌شناسی آبیان دانشگاه علوم و فنون دریایی خرمشهر و دانشجوی PhD آناتومی و جنین‌شناسی دامپزشکی دانشگاه شهید چمران، اهواز، ایران
- ❖ نگین سلامات: استادیار گروه بافت‌شناسی دانشگاه علوم و فنون دریایی خرمشهر، ایران
- ❖ فاضل پوراحمد: استادیار دانشکده پردازشکی دانشگاه ایلام، ایران
- ❖ احمد سواری: استاد گروه زیست دریا دانشگاه علوم و فنون دریایی خرمشهر، ایران
- ❖ بیتا ارجمنگی: استادیار گروه زیست دریا دانشگاه علوم و فنون دریایی خرمشهر، ایران

چکیده

در مطالعه حاضر ۶۰ قطعه ماهی با علائم کلینیکی نظیر بی‌حالی، شناختی نامنظم و اگروفتالمی از مزارع پورش قزلآلای رنگین کمان واقع در اطراف ایلام در بهمن ۱۳۸۸ جمع‌آوری شدند. برای تشخیص عامل اصلی بیماری، نمونه‌هایی از کبد، کلیه و طحال برداشته شده و در محیط کشت آگار خوندار (blood agar) در دمای ۲۲ درجه سانتی‌گراد به مدت ۲۴ ساعت انکوبه شدند. برای تأیید ایزوله‌ها از Lactococcus multiplex PCR و ژن‌های 16S-23S rRNA و lctO، 16S rRNA و *S. dysgalactiae* و *Streptococcus iniae*، *garviae* به ترتیب برای شناسایی ۱۱۰۰ bp تشکیل شد که مربوط به باکتری *L. garviae* است. بر این اساس، می‌توان نتیجه گرفت که عامل اصلی بروز سپتیسمی *L. garviae* بوده است. نتایج مطالعات هیستوپاتولوژیک در ماهیان مبتلا به لاکتوکوکوزیس شامل ایجاد فضای ادماتوز و بلندشدن اپیتیلیوم لاملاه، آنوریسم در مویرگ‌های لاملا، هیپرتروفی و هیپرپلازی سلول‌های اپیتیلیال و افزایش لکوسیت‌ها در آبشش، ضخیم‌شدن غشای پایه گلومرولی، نکروز سلول‌های توبولی، افزایش مراکز ملانوماکروفرا، احتقان و خونریزی در کلیه بود. در نهایت به نظر می‌رسد multiplex PCR روش قطعی شناسایی سریع باکتری به ویژه در عفونت‌های ترکیبی است.

واژگان کلیدی: پاتولوژی، قزلآلای رنگین کمان، *Lactococcus garviae*, PCR، multiplex

برای کنترل بیماری‌های باکتریایی، شناسایی و تشخیص دقیق و سریع عامل پاتوژن ضروری است و نیازمند روش‌های سریع، دقیق و اختصاصی عامل پاتوژن است. امروزه روش‌های مختلف میکروبیولوژی و بیوشیمیایی و محیط‌های کشت اختصاصی برای تشخیص و شناسایی عامل بیماری‌زا به کار می‌روند. در چند سال اخیر روش‌های مولکولی PCR، به خصوص بر پایه ژن 16SrRNA، برای شناسایی باکتری‌های گرم مثبت و منفی بیماری‌زا به کار می‌روند (Romalde and Toranzo, 2002).

multiplex PCR یکی از مفیدترین روش‌هایی است که برای شناسایی باکتری‌های بیماری‌زا، به ویژه باکتری بیماری‌زا گرم مثبت، در ماهی به کار می‌رود (Edwards and Gibbs, 1994; Mata *et al.*, 2004).

در سال‌های اخیر، ادارات شیلات و دامپزشکی استان ایلام مکرراً، عفونت موسوم به استرپتوکوکوزیس با علائم ظاهری تیرگی پوست، تورم ناحیه شکم، کم تحرکی و اگزوفتالمی یک یا دو طرفه در ماهیان قزل‌آلای رنگین کمان پرورشی را گزارش کرده‌اند که عامل آن، بدون استفاده از روش تشخیصی مطمئن و فقط با تکیه بر علائم بالینی و ضایعات پاتولوژیک، *Streptococcus iniae* معرفی شده است؛ غالباً پرورش دهنده‌گان نیز برای پیشگیری یا درمان این بیماری روشی را به کار می‌برند که منجر به مقاومت‌های باکتریایی شده است. هدف ما در بررسی حاضر معرفی عامل اصلی این بیماری در منطقه با روش‌های مطمئن، همچنین بیان تغییرات پاتولوژیک ایجادشده باکتری بیماری‌زا در بافت‌های کلیه و آبشش قزل‌آلای رنگین کمان است.

۱. مقدمه

امروزه بیمای‌های عفونی عامل اصلی محدودیت توسعه و رشد صنعت آبزی‌پروری است (Sharifuzzaman *et al.*, 2011). در سال‌های اخیر، این واقعیت که بسیاری از تغییرات محیطی شدید استرس‌زاست و باعث کاهش مقاومت و در نتیجه بروز بیماری‌های عفونی و غیر عفونی در ماهیان پرورشی و آکواریومی می‌شود، بیش از پیش مورد توجه واقع شده است. هر ساله بیماری‌های باکتریایی سبب بروز خساراتی بیش از صد میلیون دلار در کشورهای مختلف جهان می‌شوند (Shoemaker *et al.*, 2001).

لاکتوکوکوزیس با نشانه‌هایی بسیار شبیه به استرپتوکوکوزیس است که باکتری *L. garvieae* آن را ایجاد می‌کند. باکتری *L. garvieae* عامل بروز سپتیسمی در ماهیان آب شور و شیرین، به ویژه قزل‌آلای رنگین کمان، می‌شود؛ به خصوص زمانی که دمای آب به بالاتر از ۱۶ درجه سانتی‌گراد می‌رسد. شیوع بیماری در قزل‌آلای رنگین کمان در مناطق متعددی از جمله استرالیا، جنوب افریقا، زاپن، تایوان، انگلستان و کشورهای نواحی مدیترانه دیده شد که با خساراتی در حدود ۸۵-۵۰٪ از تولید کل همراه بوده است (Ghittino and Prearo, 1993). این بیماری در قزل‌آلای رنگین کمان به صورت عفونت حاد مشاهده شده می‌شود (Eldar and Ghittino, 1999). میزان *L. garvieae* محدود به آبزیان نیست و این باکتری در سایر حیوانات و حتی انسان نیز گزارش شده است و به نظر می‌رسد که می‌توان آن را عامل ایجادکننده بیماری زئونوز (مشترک بین انسان و دام) به حساب آورد (Elliot and Facklam, 1996).

۳. استخراج DNA و انجام دادن PCR

برای شناسایی قطعی باکتری مولد بیماری از روش مولکولی PCR multiplex استفاده شد. برای انجام دادن PCR نخست DNA باکتری استخراج شد. استخراج DNA با استفاده از روش جوشاندن^۱ انجام شد (Afghani and Stutman, 1996) در کنار شعله، ۱۰۰-۱۲۰ میکرولیتر از محلول بافر تریس EDTA^۲ به میکروتیوب ۰/۵ میلی لیتری انتقال داده شد سپس، با آنس استریل چند کلنی باکتری برداشته شد و میکروتیوب ها در دستگاه Comfort Eppendorf Thermomixer تنظیم و در دمای ۹۹ درجه سانتی گراد به مدت ۱۰ دقیقه جوشانده شدند. بعد از گذشت ۱۰ دقیقه میکروتیوب ها با دور rcf ۱۳۰۰۰ به مدت ۲ دقیقه سانتریفیوژ (Centrifuge 5415D Eppendorf) شدند؛ پس از استخراج DNA باکتری، آزمایش PCR انجام گرفت به این صورت که ۴ میکرولیتر مستر میکس (ساخت شرکت سیناژن)، ۶ میکرولیتر پرایمر با غلظت ۱۰ پیکومول (برای هر گونه باکتری یک زوج پرایمر)، ۳ میکرولیتر از استخراج شده از باکتری ها درون میکروتیوب های ۲۰۰ میکرولیتری اضافه شدند و حجم محلول با آب مقطر دو بار تقطیر تا حجم ۲۰ میکرولیتر افزایش یافت؛ Mastercycler سپس، میکروتیوب ها در دستگاه gradient thermal Cycler شدند و آزمایش PCR طبق روش زیر صورت گرفت:
الف) دنا توره کردن اولیه^۳ در دمای ۹۴ درجه سانتی گراد به مدت ۵ دقیقه؛

- 3. Boiling
- 4. Trice EDTA buffer
- 5. Primary Denaturation

۲. مواد و روش ها

۱.۰۲ نمونه برداری

در تحقیق حاضر، ۶۰ قطعه ماهی (میانگین وزنی $۲۰/۰۷\pm ۶۳$ گرم و میانگین طول کل $۱۴۱/۴۷\pm ۲۳$ سانتی متر) به طور تصادفی از میان ماهیانی با نشانه های بالینی بیماری (اگروفتالمی، هموراژی در باله، اتساع شکم و ...) و نیز ۱۰ قطعه قزلآلای رنگین کمان قادر علائم کلینیکی بیماری به منزله شاهد (دارای میانگین وزن و طول مشابه ماهیان بیمار)، از ۵ مزرعه پرورشی قزلآلای رنگین کمان واقع در اطراف ایلام در بهمن ۱۳۸۸، جمع آوری شدند.

۲.۰۲ جداسازی و شناسایی اولیه باکتری

در شرایط کاملاً استریل، نمونه هایی از کبد، کلیه و طحال برای کشت باکتری برداشته و به اولین محیط کشت مغذی یعنی محیط کشت مایع تریپتون سوی ۱ (TSB) منتقل و در دمای ۲۵ درجه سانتی گراد به مدت ۱۸ تا ۲۴ ساعت انکوبه شدند. پس از رشد باکتری ها، نمونه های از محیط کشت مایع با آنس^۴ استریل برداشته و روی محیط کشت آگار خوندار (حاوی ۵ درصد خون گوسفند) کشت و در دمای ۲۲ درجه سانتی گراد به مدت ۱۸ تا ۲۴ ساعت انکوبه شد کشت آگار خوندار تا به دست آوردن کلنی های خالص باکتری ادامه یافت؛ سپس، رنگ آمیزی گرم و تعدادی از آزمایش های بیوشیمیایی نظیر کاتالاز، اکسیداز و آسکولین انجام گرفت.

- 1. Tryptone soy broth

- 2. Loop

جدول ۱. مشخصات پرایمرهای مورد استفاده در multiplex PCR

Primer pairs	Sequence (5' to 3')	Target gene	PCR amplicon(pb)	Pathogen	Reference
plG-1	CATAACAATGAGAATCGC	16SrRNA	۱۱۰	<i>L. garvieae</i>	Zoltkin <i>et al.</i> (1998)
plG-2	GCACCCCTCGCGGGTTG				
Lox-1	AAGGGGAAATCGCAAGTGCC	lctO	۸۷۰	<i>S. iniae</i>	Mata <i>et al.</i> (2004)
Lox-2	ATATCTGATTGGGCCGTCAA				
STRD-DYI	TGGAACACGTTAGGGTCG	16S- 23SrRNA	۲۵۹	<i>S.dysgalactia</i> subsp	Hassan <i>et al.</i> (2003)
Dys-16S- 23S-2	CTTAACTAGAAAAACTCTTGAT TATTC			<i>dysgalactiae</i>	

به ابعاد ۰/۵ cm از کلیه و آبشش ماهی جدا و در محلول ثبوت بوئن قرار داده شدند؛ سپس، مراحل معمول پاساز بافتی (آبگیری، شفافسازی و پارافینه شدن) نمونه‌ها در دستگاه هیستوکینت^۵ مدل RX-11B,tissue tek rotary, Japan انجام گرفت. آبگیری بافت‌های تثبیت شده در بوئن، با سری افزایشی اتانول (۷۰، ۸۰، ۹۰ و ۱۰۰٪) انجام شد و در ادامه نمونه‌های بافتی برای شفافسازی^۶ به گزیلول (Merck-آلمان) سپس، برای پارافینه شدن^۷ در داخل پارافین مذاب (Merck-آلمان) در دمای ۵۶-۵۸ درجه سانتی گراد قرار گرفتند. تمامی این مراحل با دستگاه هیستوکینت تحت برنامه زمان‌بندی شده انجام شد. پس از قالب‌گیری نمونه‌ها در پارافین با استفاده از دستگاه روتاری میکروتوم^۸ مدل LECA RM2245، برش‌هایی به ضخامت ۵-۶ میکرومتر از نمونه بافتی تهیه شد سپس، مقاطع حاصل در حمام آب گرم با دمای حدود ۵۰ درجه

ب) دناتوره کردن نهایی (ثانویه)^۱ شامل ۳۰ چرخه در دمای ۹۴ درجه سانتی گراد، هر یک به مدت ۱ دقیقه؛ ج) اتصال (آنیلینگ)^۲ در دمای ۵۰ درجه سانتی گراد به مدت ۱ دقیقه؛ د) امتداد^۳ در دمای ۷۲ درجه سانتی گراد به مدت ۱ دقیقه.

پس از اتمام زمان PCR، الکتروفوروز محصول PCR روی ژل آگارز ۱ درصد با ولتاژ ۱۰۰ آمپر و به مدت ۴۵ تا ۵۰ دقیقه انجام شد سپس، ژل حاصل به مدت ۳۰ دقیقه درون تشک حاوی اتیدیوم برماید و پس از آن به مدت ۱۵ دقیقه درون آب مقطر قرار گرفت. در مرحله آخر با استفاده از دستگاه ژل داکت^۴ مدل BioDoc-JT از ژل حاصل عکس برداری شد.

۲. مطالعات هیستوپاتولوژیک

پس از نمونه برداری از ماهیان برای مطالعات باکتریولوژیک، برای مطالعه هیستوپاتولوژی، قطعاتی

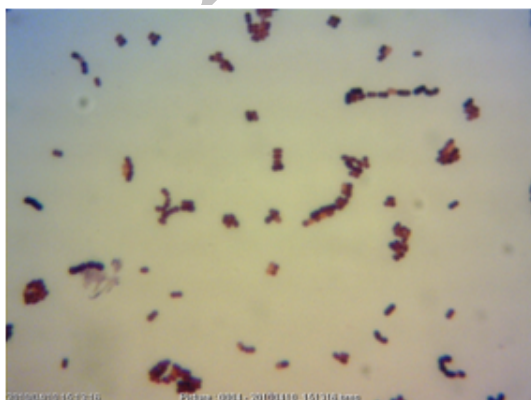
- 5. Tissue processor
- 6. Clearance
- 7. Paraffin embedding
- 8. Microtome

- 1. Secondary Denaturation
- 2. Annealing
- 3. Extension
- 4. Gel document

۲.۳. نتایج مطالعات مورفولوژی (کشت و رنگ آمیزی گرم) باکتری و آزمایش های

بیوشیمیابی

از میان ۱۸۰ ایزوله جداسده از کبد، کلیه و طحال ماهیان بیمار، پس از چندین بار تجدید کشت، ۱۴۱ ایزوله خالص باکتری با کلنی های تک رشد یافتند؛ سپس، نمونه های باکتری از هر یک از کلنی های خالص رنگ آمیزی گرم شدند که از میان ۱۴۱ ایزوله خالص، ۱۱۵ ایزوله (۸۲ درصد) گرم مثبت و ۲۶ ایزوله (۱۸ درصد) گرم منفی تشخیص داده شدند. همه ۱۱۵ ایزوله گرم مثبت کوکسی شکل بودند (شکل ۲) که تعدادی از آنها روی محیط کشت آگار خوندار همولیز آلفا (شکل ۳) ایجاد می کردند. برای تشخیص قطعی، آزمایش های بیوشیمیابی روی ۱۱۵ ایزوله گرم مثبت انجام شد و از میان ۱۱۵ ایزوله گرم مثبت کوکسی شکل، ۸۸، ایزوله به عنوان *Lactococcus garvieae* در نظر گرفته شدند که دارای قابلیت ایجاد همولیز آلفا روی محیط کشت آگار خوندار بودند و نتایج آزمایش های بیوشیمیابی آنها شامل کاتالاز منفی، اکسیداز منفی، اندول منفی، اوره منفی، فنول رد مثبت، سیمون سیترات منفی، VP مثبت، TSI منفی، نیترات منفی، OF مثبت، H₂S منفی، اسکولین مثبت و غیر متحرک بود. تمامی این ایزوله ها برای تشخیص قطعی آزمایش PCR شدند.



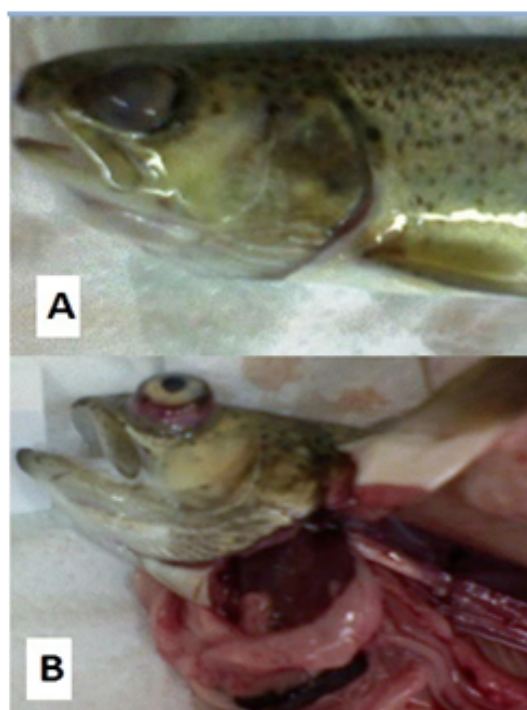
شکل ۲. کوکسی گرم مثبت (رنگ آمیزی گرم, $\times 100$)

سانسی گراد قرار گرفتند و پس از رفع چین های موجود در مقطع با فروبردن لام های آغشته به چسب گلیسیرین - آلبومین، مقاطع تهیه شده روی لام انتقال داده شدند. پس از رنگ آمیزی H&E اسلاید های حاصل با میکروسکوپ نوری مطالعه شدند؛ هماتوکسیلین Merck: (Merck: 1.09253.2500) و ائوزین (Bancroft and Gamble, 2002) (1.15935.2500).

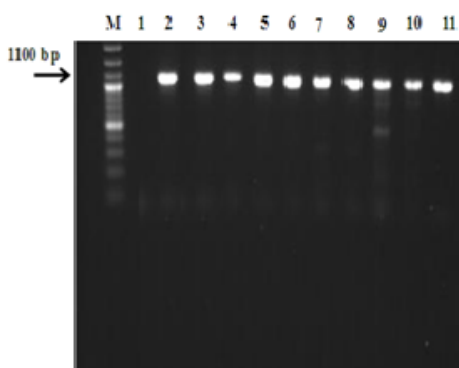
۳. نتایج

۳.۱. نتایج مطالعات بالینی

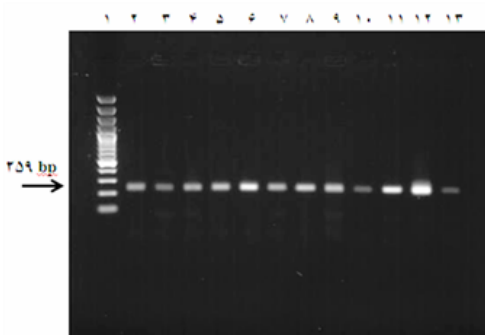
این تحقیق درباره ماهیان بیماری انجام شد که علائم بالینی بیماری نظیر اگزوفتالمی، کدرشدن قرنیه، تیره شدن رنگ پوست، خونریزی در باله ها، بزرگ شدن و رنگ پریدگی غیر طبیعی کبد، بزرگ شدن طحال، آسیت و خونریزی در حفره صفاقی در آنها کاملاً مشهود بود (شکل ۱ و B).



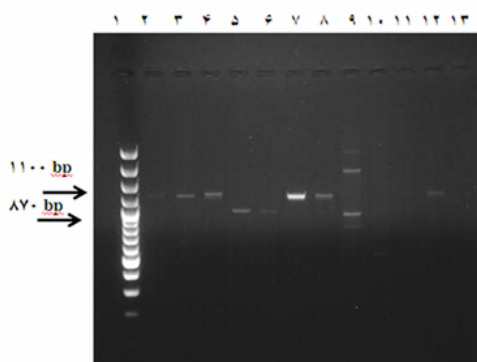
شکل ۱. A: کدرشدن قرنیه، B: اگزوفتالمی دو طرفه



شکل ۴. A: الکتروفورز محصول حاصل از mPCR ، سیز DNA ، مارکر سایز ۱۱۰۰ bp و ۱۰۰ bp. ستون ۱ از سمت چپ، DNA مارکر به طول مضربی از ۱۰۰، ۱۰۰، ستون ۲ کنترل منفی، ستون ۳ کنترل مثبت (لاکتوکوکوس گارویه (۱۷۰A) را نشان می دهد. تمامی ستون ها ایزوله هایی هستند که با پرایمرها تشکیل باند می دهند و در ۱۱۰۰ bp باند اختصاصی لاکتوکوکوس گارویه را تشکیل دادند.



شکل ۴. B: الکتروفورز محصول حاصل از mPCR . سیز DNA سایز مارکر به طول مضربی از ۱۰۰ bp را نشان می دهد. در ستون ۲ تا ستون ۱۳ محصول PCR باندی در حدود ۲۵۹ bp تشکیل می دهد و به همین دلیل باکتری *Streptococcus dysagalactiae* است.



شکل ۴. C: الکتروفورز محصول حاصل از mPCR . سیز DNA سایز مارکر به طول مضربی از ۱۰۰ bp، ستون ۲ کنترل منفی (آب مقطر)، ستون ۳ کنترل مثبت (باکتری لاکتوکوکوس گارویه (۱۷۰A) را نشان می دهد، ستون ۴، ۸، ۷، ۱۲ و ۱۱ که محصول PCR باندی در حدود ۱۱۰۰ bp تشکیل می دهد، مربوط به باکتری *Lactococcus garvieae* و ستون ۵، ۶ و ۹ که محصول PCR باندی در حدود ۸۷۰ bp تشکیل می دهد، مربوط به باکتری *Streptococcus iniae* هستند.

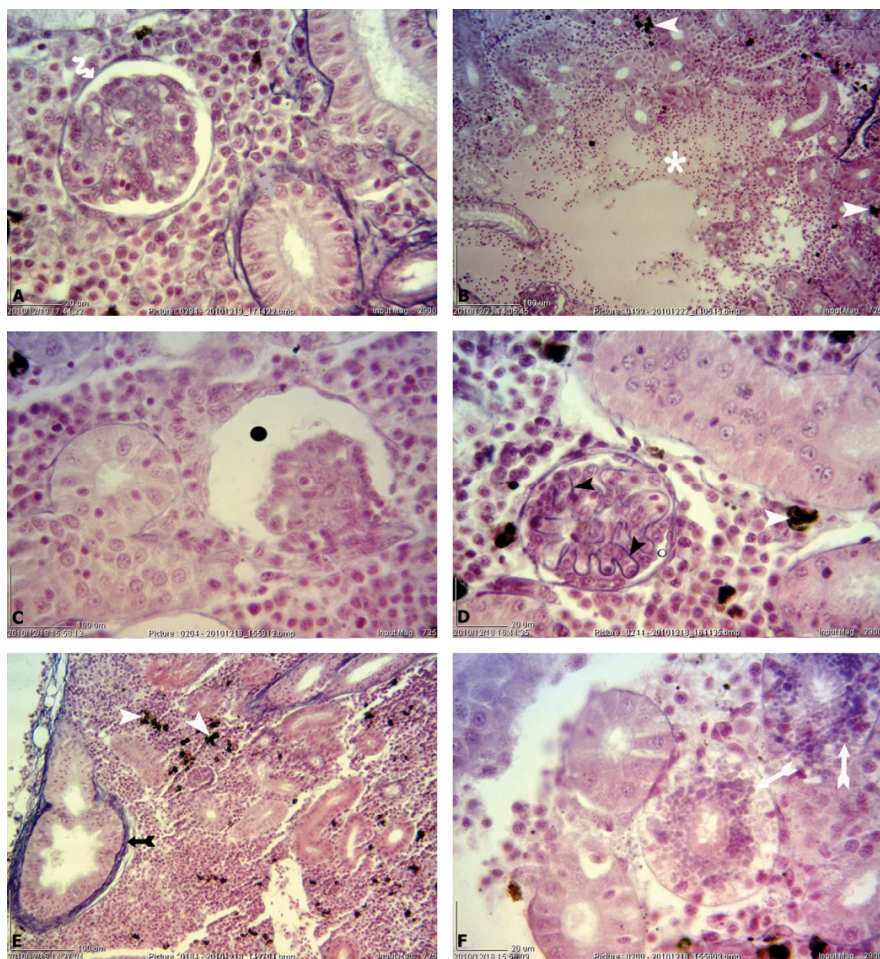


شکل ۳. باکتری گرم مثبت با توانایی ایجاد همولیز آلفا بر محیط کشت آگار خوندار

۳. نتایج مولتی پلکس PCR

در مجموع از تعداد کل باکتری های خالص رشد یافته (۱۴۱ ایزوله) تعداد ۱۱۵ ایزوله گرم مثبت و بقیه گرم منفی بودند. در این آزمایش از ۱۱۵ نمونه DNA استخراج شده از ایزوله های باکتریایی و دو سویه جدا شده از آبزیان، یعنی *Lactococcus garvieae* (۱۹۱ B) و *Staphylococcus pasteurii* (۱۷۰ A) (اهدایی از دانشگاه تهران)، به منزله موارد کنترل مثبت و منفی استفاده شد. از ۸۸ ایزوله های که در آزمایش های بیوشیمیایی به عنوان *L. garvieae* در نظر گرفته شده بودند، تعداد ۸۴ ایزوله با پرایمر ۱۱۰۰ bp *L. garvieae*، محصولی به طول ۱۱۰۰ bp تولید کردند و به طور قطعی *L. garvieae* تشخیص داده شدند. در این بین، ۴ باکتری که باندی به طول ۸۷۰ bp تولید کرده بودند *S. iniae* و *S. dysagalactiae* ۱۶ باکتری با تولید باندی در حدود ۲۵۹ bp معرف گونه *S. dysagalactiae* بودند.

A) *L. garvieae* PCR در تمامی موارد آزمون (۱۷۰) واحد محصول فوق (۱۱۰ bp) و S. *pasteuri* (۱۱۰ bp) و C) نتیجه الکتروفورز ژل آگارز شکل های ۴، A و B مواردی از محصولات PCR نشان داده شده است.



شکل ۵. تصویر میکروسکوپ نوری ساختار بافتی طبیعی (A) و تغییرات بافتی کلیه (B، C، D، E و F) در ماهی قزلآلای رنگین کمان مبتلا به لاکتوکوکوزیس؛ جسمک کلیوی (پیکان پیچیده سفید)، لوله پیچیده نزدیک (پیکان پیچیده خاکستری)، خونریزی (*سفید)، افزایش مراکز ملانوماکروفازی (رأس پیکان سفید)، اتساع فضای ادراری (دایره سیاه)، کاهش فضای ادراری (دایره سفید)، افزایش ضخامت GBM (رأس پیکان سیاه)، فیبروز پلازی (پیکان دوشاخه سیاه)، قطرات هیالن (پیکان دوشاخه سفید)؛ (H&E; $\times 725$) (B، C و D)، (H&E; $\times 2900$) (E و F).

ملانوماکروفازی، ایجاد قطرات هیالن^{*} در سلول‌های اپیتیلیوم لوله‌ای، فیبروپلازی لوله‌ای[†] و عروقی و خونریزی اشاره کرد (شکل ۵). در نمونه‌های آبتشش ماهیان مبتلا به لاکتوکوکوزیس ضایعات بافتی شدیدی مشاهده شد که برآمدگی (بلندشدن) اپیتیلیوم[‡] تیغه‌آبتششی و ایجاد فضای

3. Melanomacrophage centers

4. Hyaline droplets

5. Tubular fibrosis

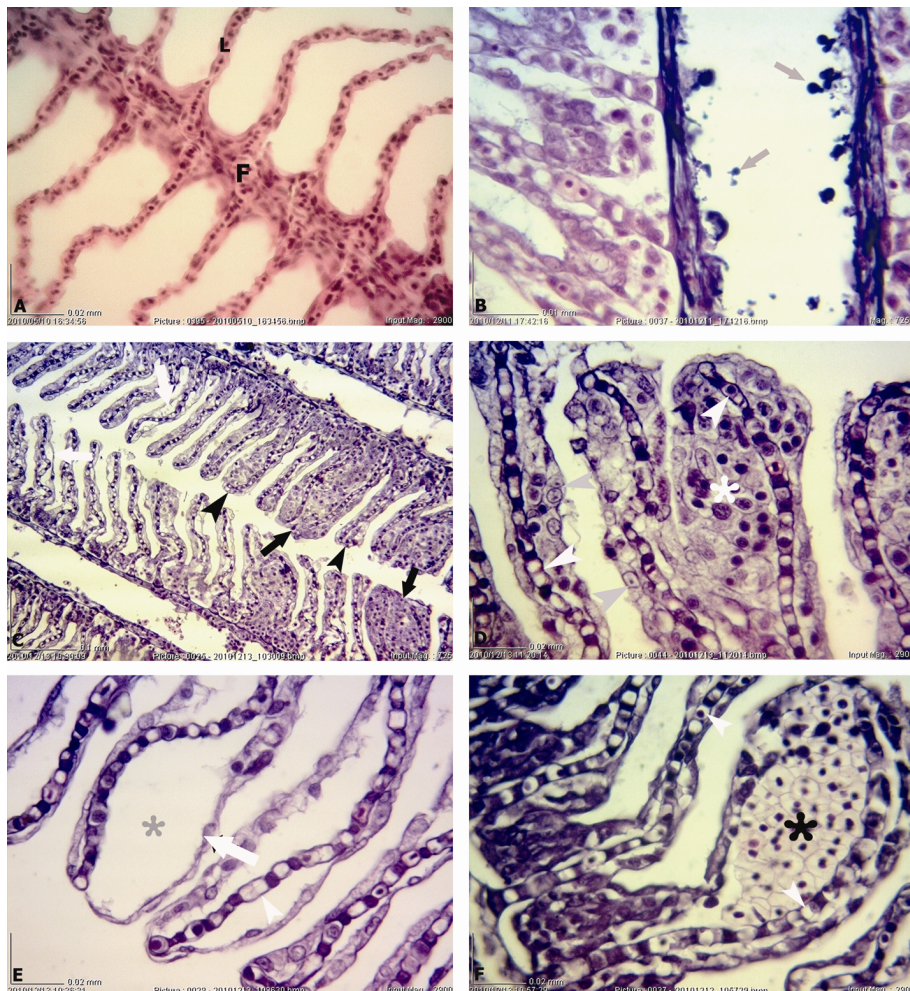
6. Epithelial lifting

۴.۳. نتایج مطالعات هیستوپاتولوژی

تغییرات بافتی درخور توجهی در کلیه ماهیان بیمار مشاهده شد که از جمله این ضایعات می‌توان به کاهش یا انسداد و در برخی موارد افزایش درخور توجه فضای ادراری جسمک‌های کلیوی، افزایش ضخامت غشای پایه گلومرولی (GBM)[§]، اتساع مویرگ[‡] گلومرولی جسمک‌های کلیوی، افزایش مراکز

1. Glomerular basement membrane

2. Capillary dilation



شکل ۶. تصویر میکروسکوپ نوری ساختار بافتی طبیعی (A) و تغییرات بافتی آبشنش (B، C، D، E و F) در ماهی قزل‌آلای رنگین کمان مبتلا به لاکتوکوکوزیس؛ کلندی‌های باکتری‌های گرم مثبت درون عروق رشته آبشنشی (پیکان خاکستری)، هیپرپلازی سلول‌های اپیتیلیوم تیغه‌ای و اتصال تیغه‌های آبشنشی (پیکان سیاه)، چماقی‌شدن رأس تیغه‌ها (رأس پیکان سیاه)، برآمدگی اپیتیلیوم تیغه‌ای (پیکان سفید) و ایجاد فضای ادماتوس (ُخاکستری)، اتساع کاتال مارژینال (رأس پیکان سفید)، هیپرپلازی (ُسفید) و هیپرتروفی (رأس پیکان خاکستری) سلول‌های اپیتیلیوم تیغه‌ای، آنوریسم (ُسیاه)، (H&E; $\times 2900$) (A، B و C:D، E و F).

(افزایش تعداد سلول‌ها) سلول‌های اپیتیلیومی، به هم چسبیدن (اتصال) تیغه‌ها، اتساع مویرگ‌های تیغه‌ای^۱، خونریزی و وجود کلنی‌های باکتری گرم مثبت درون عروق خونی آبشنشی از جمله ضایعات مشهود در نمونه‌های آبشنشی این ماهیان بود (شکل ۶).

6. Lamellar fusion
7. Capillary dilation

ادماتوز^۲، آنوریسم^۳ (اتسع موضعی دیواره عروق خونی بزرگ یا چند رگ خونی کوچک)، چماقی‌شدن^۴ انتهای تیغه‌های آبشنشی به دلیل هیپرتروفی^۵ (افزایش حجم سلول) و هیپرپلازی^۶

1. Oedematus
2. Aneurysm
3. Club shaping
4. Epithelial hypertrophy
5. Epithelial hyperplasia

در مطالعه حاضر نتایج آزمایش‌های بیوشیمیایی باکتری‌های جداسده از ماهیان بیمار با نتایج Austin and Austin, گزارش شده محققان دیگر (Austin and Austin, 2007; Soltani *et al.*, 2008; Sharifiyazdi *et al.*, 2010) هماهنگی دارد. تمایز بین باکتری‌های *S. iniae*, *L. garvieae* و *S. dysgalactiae* فقط از طریق آزمایش‌های بیوشیمیایی دشوار است. علاوه بر این، این باکتری‌ها غالباً عفونت ترکیبی ایجاد می‌کنند بنابراین، شناسایی آنها دقت و زمان بسیاری را می‌طلبد (Zlotkin *et al.*, 1998). روش m-PCR به منزله روش تشخیصی مولکولی، با استفاده از ژن‌های اختصاصی باکتری‌ها، تشخیص و شناسایی بسیاری از باکتری‌ها را آسان کرده است. Williams *et al.*, (1999) از روش m-PCR برای شناسایی ویروس‌ها استفاده کردند. علاوه بر این، del Cerro *et al.*, (1999) روش m-PCR برای شناسایی *Yersinia Aeromonassalmonicida* و *Flavobacteriumpsychrophilum* و *rockeri* ۲۰۰۲ پایه‌گذاری کردند. در تحقیق حاضر این تکنیک بر اساس روش Mortada و Hatai (۲۰۰۶) برای شناسایی و تشخیص قطعی *S. iniae* از *L. garvieae* و *S. dysgalactiae* به کار برده شد. در این پژوهش با استفاده از سه زوج پرایمر مربوط به سه ژن ۱۶S rRNA و ۱۶S-23SrRNA و *lcto* تشکیل شد که به ترتیب *S. dysgalactiae* و *S. iniae*, *L. garvieae* به اختصاص داشت و به تشخیص قطعی آنها انجامید. این نتایج با تحقیق Zlotkin *et al.*, (1998) برای *S. iniae* Mata *et al.*, (2004), garvieae برای Hassan *et al.*, (2003) و *S. dysgalactiae* برای single PCR مطابقت داشت که همگی از

۴. بحث و نتیجه‌گیری

بیماری‌های ماهیان، به ویژه عفونت‌های باکتریایی، نه تنها سبب بروز خسارات فراوان به صنعت آبزی پروری می‌شوند، بلکه ممکن است بهداشت انسانی را نیز به مخاطره اندازند. *L. garvieae* از مهم‌ترین کوکسی‌های گرم مثبت است که سبب بروز بیماری در گونه‌های مختلف ماهیان و حتی در مواردی باعث بروز بیماری در انسان می‌شود (Eldar *et al.*, 1996). در تحقیق حاضر اگرچه علائم کلینیکی مشاهده شده در ماهیان جمع آوری شده از مزارع پرورشی آلووه (اگروفتالمی یک‌طرفه یا دو‌طرفه، خونریزی در چشم، خونریزی در بالهای، تورم شکم، تیره شدن رنگ پوست، شناخت نامنظم و ...)، با نشانه‌های بالینی گزارش شده سایر محققان از ماهیان قزلآلای رنگین کمان مبتلا به گونه‌های مختلف باکتری استرپتوکوکوس (Eldar *et al.*, 1997; Bromage *et al.*, 1999; Eldar and Ghittino, 1999) تشابه فراوانی داشت، ولی با علائم کلینیکی مشاهده شده در ماهیان قزلآلای رنگین کمان مبتلا به Chang *et al.*, 2002; Kang *et al.*, (2004) نیز بسیار همسان بود. از طرفی، این علائم با علائم گزارش شده محققان درباره قزلآلای رنگین کمان مبتلا به سایر عوامل باکتریایی (Akhlagh and Mahjor, 2004) همچنین، علائم گزارش شده در سایر ماهیان مبتلا به عوامل بیماری‌زای متفاوت (Chen *et al.*, 2002) نیز تشابه بسیاری داشت. بنابراین، با توجه به غیر اختصاصی بودن نشانه‌های بالینی، نمی‌توان از آنها به منزله روش تشخیص قطعی بیماری استفاده کرد (Eldar and Ghittino, 1999).

ماهیان بیمار ۸۴ ایزوله در محدوده ۱۱۰۰ bp تشکیل باند دادند که پیش از این، نتایج آزمایش‌های بیوشیمیایی همه این ایزوله‌ها به *L. garvieae* شبیه بود. این نتایج مؤید این مطلب است که عامل اصلی ایجادکننده بیماری در قزلآلای پرورشی در تحقیق حاضر، در حالی که فقط تعداد *L. garvieae* است، باز ایزوله‌ها به گونه‌های مختلف باکتری کمی از ایزوله‌ها به گونه‌های مختلف باکتری استرپتوكوکوس تعلق داشتند. بنابراین، به نظر می‌رسد باید این بیماری را تحت عنوان لاکتوکوزیس معرفی کرد و درمان مناسبی را برای کنترل *L. garvieae* به کار گرفت.

یکی از عمده‌ترین علائم پاتولوژیک مشاهده شده در اندام‌های مختلف ماهیان بیمار هموراژی (خونریزی) بود. *L. garvieae*، عامل بیماری لاکتوکوزیس، منجر به آسیب آندوتلیوم عروق خونی و نشت خون از عروق می‌شود که به خونریزی و ایجاد پتیشی‌هایی در سطح اندام‌های داخلی می‌انجامد. به همین علت، لاکتوکوزیس اساساً سپتیسمی هموراژیک قلمداد می‌شود (Avci *et al.*, 2010). Michel *et al.*, (1996) (2010) طی مطالعه بیماری لاکتوکوزیس در قزلآلای رنگین‌کمان، آسیب‌های بافتی نظیر تغییرات عروق خونی مانند ادم، خونریزی و آنوریسم را در آبشنش ماهیان بیمار گزارش کردند که تغییرات خونی گزارش شده در آبشنش ماهیان بیمار در تحقیق حاضر با نتایج گزارش شده این محققان هماهنگ بود.

ضایعات پاتولوژیکی نظیر هیپرپلازی سلول‌های پوششی تیغه‌ها و اتصال جزئی یا کامل تیغه‌ها به یکدیگر همچنین، وجود دسته‌های باکتری در عروق

شناسایی باکتری‌های ذکر شده استفاده کرده بودند. همچنین (2006) Mortada and Hatai برای شناسایی و تشخیص باکتری‌های *S. iniae*, *L. garvieae* و *S. dysagalactia* استفاده و محدوده تشکیل باند برای سه باکتری PCR را به ترتیب ۲۵۹ bp و ۸۷۰ bp و ۱۱۰۰ bp ذکر کردند. فدایی‌فرد و همکاران (۲۰۰۹) با جداسازی باکتری از بافت‌های کلیه، کبد و مغز قزلآلای رنگین‌کمان از مزارع پرورشی چهارمحال و بختیاری با استفاده از آزمایش‌های باکتریایی و بیوشیمیایی دو باکتری *L. iniae* و *garvieae* را جداسازی و برای تأیید نهایی از m-PCR استفاده کردند.

در این میان، در بسیاری از موارد PCR از ژن 16S rRNA به منزله مولکول هدف استفاده می‌شود (Blanco *et al.*, 2002). عملکرد این ژن دائم و همیشگی است و دارای ساختمانی موزائیکی از توالی‌های حفظ شده و تغییریافته در همه موجودات است. بخش حفاظت شده آن طی تکامل به ندرت دچار تغییر شده و هر جا این تغییرات صورت گرفته قربات و خویشاوندی دستخوش تغییر شده است و گونه‌ها از هم جدا شده‌اند. پیش از این، Zlotkin *et al.*, (1998) نیز با استفاده از پرایمرهای PLG₁ و PLG₂ مربوط به ژن 16sr RNA، باکتری جدashedه از قزلآلای بیمار جمع‌آوری شده از مزارع پرورشی *L. garvieae* را قزلآلای از آسیا، اروپا و استرالیا را شناسایی کردند و گزارش دادند که باندی را که باکتری تشکیل داد در محدوده ۱۱۰۰ bp قرار دارد. Eldar *et al.*, (1999) نیز با استفاده از پرایمر ژن 16S rRNA مربوط به باکتری *L. garvieae* نتایج مشابهی را ارائه دادند.

با توجه به نتایج، از میان باکتری‌های جدashedه از

کلیه شامل قطرات هیالن و افزایش مراکز ملانو ماکروفاژ، وجود کلنی‌های باکتری در عروق خونی و نیز خونریزی در اندام‌های مختلف مانند کلیه و آبشش را طی مطالعه درباره ماهیان آلووده به *L. Eldar et al.*, 1996; *garvieae* ذکر کرده بودند (Prieta et al., 1993; Avci et al., 2010).

آنواع ضایعات در بافت‌های مختلف می‌تواند در ابتدا به منزله مکانیسمی دفاعی برای حفظ شرایط پایدار بدنی در برابر ورود عامل بیماری‌زا صورت پذیرد، اما با تکثیر و افزایش شدت و حدت آن، خود این واکنش‌های دفاعی، با افزایش ضایعات بافتی، می‌توانند مانع در برابر عملکردهای معمول سلولی و در نتیجه بافتی باشند و در نهایت کل بدن موجود زنده را درگیر کنند (Pereira et al., 2004).

در کل، بسیاری از تغییرات بافتی مشاهده شده در تحقیق حاضر با آسیب‌های پاتولوژیک حاصل از عوامل بیماری‌زا دیگر به ویژه *S. iniae* مشابه است؛ بنابراین، نمی‌توان فقط از نشانه‌های پاتولوژیک به منزله روش تشخیص قطعی استفاده کرد، هر چند *Eldar and Ghittino*(1999) بنا به گزارش‌های هیستوپاتولوژی دو بیماری دارای تفاوت‌های درخور ملاحظه‌ای است و *L. garvieae* بیماری سیستمیک بسیار حادتری نسبت *S. iniae* ایجاد می‌کند. در مجموع، نتایج تحقیق حاضر نشان می‌دهد که *multiplex PCR* روش تشخیصی مفیدی برای شناسایی همزمان عامل یا عوامل اصلی بیماری در عفونت‌های میکس باکتریایی است.

خونی آبشش عوارضی است که محققان دیگری نیز گزارش کرده‌اند (Michel, 1996; Chen et al., 2002). به نظر می‌رسد که دهان مسیر اصلی انتقال *L. garvieae* است (Nakai, 1999)، ولی بنا به گزارشی، *L. garvieae* آبشش‌ها مکان اصلی اتصال و تکثیر طی دوره عفونت است. پس از نفوذ به عروق خونی آبششی، باکتری در عروق خونی منتشر و نهایتاً منجر به سپتیسمی می‌شود (Eldar and Ghittino, 1999). بسیاری از عوامل استرس‌زا، از جمله عوامل بیماری‌زا، در غلظت‌های کم معمولاً اپتیلیوم آبشش را متأثر می‌کنند در حالی که، با حدت و شدت بیشتر، منجر به تغییراتی در عروق خونی آبششی می‌شوند. در این موارد، غالباً سلول‌های ستونی (پیلار) تغییرهای آسیب می‌بیند و باعث افزایش جریان خون درون تیغه‌ها و در نتیجه گشادشدن کانال مارژینال، احتقان خون یا حتی آنوریسم می‌شود (Ghittino and Prearo, 1993). به نظر می‌رسد ضایعاتی نظیر هیپرتروفی، هیپرپلازی سلول‌های اپتیلیومی و ادم حاصل از ایجاد فضای ادماتوزی در زیر اپتیلیوم تیغه‌ها، که در تحقیق حاضر نیز مشاهده شد، از پاسخ‌های دفاعی آبشش باشند که منجر به افزایش فاصله انتشار گاز میان خون و آب، کاهش سطح و در نتیجه کاهش تبادلات گازی می‌شوند. برآمدگی اپتیلیوم باعث می‌شود فاصله‌ای که عامل استرس‌زا برای رسیدن به جریان خون باید طی کند، افزایش یابد (ibid).

تحقیق آسیب‌های پاتولوژیک مشاهده شده در

References

- [1]. Afghani, B., Stutman, H.R., 1996. Polymerase chain reaction for diagnosis of a conventional method for DNA extraction. Biochemical and Molecular Medicine 57, 14-18.
- [2]. Akhlaghi, M., Mahjor, A.A., 2004. Some histopathological aspects of streptococcosis in cultured rainbowtrout (*Oncorhynchus mykiss*). Bulletin of European Association of Fish Pathologists 24, 132-136.
- [3]. Austin, B., Austin, D., 2007. Bacterial fish pathogens Disease of farmed and wild fish. 4 th edition, Praxis pub, 16-56-57-58-155-156-284-347-386 PP.
- [4]. Avci, H., Aydogan, A., Tanrikul, T.T., Birincioglu, S.S., 2010. Pathological and Microbiological investigations in rainbow trout (*Oncorhynchus mykiss Walbaum*, 1792) naturally infected with *lactococcus garvieae*. Kafkas Universitesi Veteriner Fakultesi Dergisi 16, 313-318
- [5]. Bromage, E.S., Thomas, A., Owens, L., 1999. *Streptococcus iniae*, a bacterial infection in barramundi *Lates calcarifer*. Diseases of Aquatic Organisms 36, 177-181.
- [6]. Chang, P.H., Lin, C.W., Lee, Y.C., 2002. *Lactococcus garvieae* infection of cultured rainbow trout, *Oncorhynchus mykiss*, in Taiwan and associated biophysical characteristics and histopathology. Bulletin of European Association of Fish Pathologists 22(5), 319-326.
- [7]. Chen, S.C., Liaw, L.L., Ko, S.C., Wu, C.Y., Chaung, H.C., Tsai, Y.H., Yang, K.L., Chen, Y.C., Chen, T.H., Lin, G.R., Cheng, S.Y., Lin, Y.D., Lee, J.L., Weng, Y.C., Chu, S.Y., 2002. *Lactococcus garvieae*, a cause of disease in grey mullet, *Mugil cephalus* L., in Taiwan. Journal of Fish Diseases 25, 727-732.
- [8]. Edwards, M.C., Gibbs, R.A., 1994. Multiplex PCR: advantages, development, and applications. PCR Methods Applied 3, 65-75.
- [9]. Elliot, J.A., Facklam, R.R., 1996. Antimicrobial susceptibilities of *Lactococcus lactis* and *Lactococcus garvieae* and a proposed method to discriminate between them. Journal of Clinical Microbiology 34, 1296-1298.
- [10]. Eldar, A., Ghittino, C., Asanta, L., Bozzetta, E., Goria, M., Prearo, M., Bercovier, H., 1996. *Enterococcus seriolicida* is a junior synonym of *Lactococcus garvieae*, a causative agent of septicemia and meningoencephalitis in fish. Current Microbiology 32, 85-88.
- [11]. Eldar, A., Horovitz, A., Bercovier, H., 1997. Development and efficacy of a vaccine against *Streptococcus iniae* infection in farmed rainbow trout. Veterinary Immunology and Immunopatholgy 56, 175- 183.
- [12]. Eldar, A., Ghittino, C., 1999. *Lactococcus garvieae* and *Streptococcus iniae* infections in rainbow trout *Oncorhynchus mykiss*: Similar, but different diseases. Disease of Aquatic Organisms 36, 227-231.
- [13]. Fadaeifard, F., Momtaz, H., Rahimi, E., Mirzakhani, A., 2012. Detection of *Streptococcus iniae* and *Lactococcus garvieae* by multiplex polymerase chain reaction (PCR) in some rainbow trout farms of Iran. African Journal of Biotechnology 11(2), 260-263.
- [14]. Ghittino, C., Prearo, M., 1993. Comparison of some strains isolated from rainbow trout affected by streptococcosis. Boll. Soc. Ital. Patol. Ittica 11, 30-43.
- [15]. Hassan, A.A., Khan, I.U., Lammle, C., 2003. Identification of *Streptococcus dysgalactiae* strains of Lancefield's group C, G and L by polymerase chain reaction. Journal of Veterinary Medical science B 50, 161-165.

- [16]. Kang, S., Shin, G., Shin, Y., Palaksha, K.J., Kim, Y., Yang, H., 2004. Experimental evaluation of pathogenicity of *Lactococcus garvieae* in black rockfish (*Sebastes schlegeli*). Journal Veterinary Science 5, 387–390.
- [17]. Michel, C., Nougayrede, P., Sochon, E., de Kinkelin, P., 1996. *Lactococcus garvieae*, a bacterium of pathological significance in rainbow trout (*Oncorhynchus mykiss*) farming. Diseases of Aquatic Organisms 22, 145–153.
- [18]. Mata, A.I., Blanco, M.M., Dominguez, L., Fernandez-Garayzabal, J.F., Gibello, A., 2004. Development of PCR assay for *Streptococcus iniae* based on the lactate oxidase (*lctO*) gene with potential diagnostic value. Veterinary Microbiology 101, 109-116.
- [19]. Mortada, M.A.H., Hatal, K., 2006. Multiplex PCR for detection of *Lactococcus garvieae*, *Streptococcus iniae* and *S.dysgalactiae* in cultured yellowtail. Aquaculture Science 53, 269-274.
- [20]. Prieta, J., Domenech, A., Fernandez-Garayzabal, J.F., Collins, M.D., Rodriguez, U.M., Jones, D., Rodriguez, A., Dominguez, L., 1993. Lactococcosis de la trucha arco iris. Medical Veterinary 10, 363-373.
- [21]. Shoemaker, C.A., Klesius, P.H., Evan, J.J., 2001. Prevalence of *Streptococcus iniae* in tilapia, hybrid striped bass, and channel catfish on commercial fish farms in the United States. American Journal Veterinary Research 62, 174-177.
- [22]. Soltani, M., Nikbakht, G.H., Ebrahimzadeh, H.A., Ahmadzadeh, N., 2008. Epizootic outbreaks of *Lactococcus garvieae* in farmed rainbow trout (*Oncorhynchus mykiss*) in Iran. Bulletin of European Association of Fish Pathologists 28, 209-214.
- [23]. Sharifiyazdi, H., Akhlaghi, M., Tabatabaei, M., Mostafavi Zadeh, S.M., 2010. Isolation and characterization of *Lactococcus garvieae* from diseased rainbow trout (*Oncorhynchus mykiss*, Walbaum) cultured in Iran. Iranian Journal of Veterinary Research, Shiraz University 11, 342-350.
- [24]. Sharifuzzaman, S.M., Abbass, A., Tinsley, J.W., Austin, B., 2011. Subcellular components of probiotics *Kocuria* SM1 and *Rhodococcus* SM2 induce protective immunity in rainbow trout (*Oncorhynchus mykiss*, Walbaum) against *Vibrio anguillarum*. Fish & Shellfish Immunol 30, 347-353.
- [25]. Toranzo, A.E., Devesa, S., Heinen, P., Riaza, A., Nunez, S., Barja, J.L., 1994. Streptococcosis in cultured turbot caused by an *Enterococcus*-like bacterium. Bulletin of European Association of Fish Pathologists 14, 19–23.
- [26]. Vendrell, D., Luis Balcazar, J., Ruiz-Zarauela, I., de Blas, I., Girones, O., Luis Muzquiz, J., 2007. Safety and efficacy of an inactivated vaccine against *Lactococcus garvieae* in rainbow trout (*Oncorhynchus mykiss*). Preventive Veterinary Medicine 80, 222-229.
- [27]. Zlotkin, A., Eldar, A., Ghittino, C., Bercovier, H., 1998. Identification of *Lactococcus garvieae* by PCR. Journal of Clinical Microbiology 36(4), 983–985.